

شناسایی و مقایسه ویژگی‌های بنیادینگی سلول‌های سرطانی MDA-MB468 در کشت سه‌بعدی و دو-بعدی

پگاه عبدالله^۱، مرضیه ابراهیمی^۲، نسرین معتمد^۳، پردیس خسروانی^۴

۱. کارشناس ارشد، دانشگاه تهران، پردیس علوم، دانشکده زیست‌شناسی، تهران، ایران
۲. استادیار، پژوهشگاه رویان، پژوهشکده زیست‌شناسی و فناوری سلول‌های بنیادی جهاد دانشگاهی، مرکز تحقیقات علوم سلولی، گروه سلول‌های بنیادی و زیست‌شناسی تکنولوژی، تهران، ایران
۳. دانشیار، دانشگاه تهران، پردیس علوم، دانشکده زیست‌شناسی، تهران، ایران
۴. کارشناس ارشد، پژوهشگاه رویان، پژوهشکده زیست‌شناسی و فناوری سلول‌های بنیادی جهاد دانشگاهی، مرکز تحقیقات علوم سلولی، گروه سلول‌های بنیادی و زیست‌شناسی تکنولوژی، تهران، ایران

چکیده

سابقه و هدف: مطالعات در سرطان سینه بیان کننده حضور جمعیتی از سلول‌ها با ویژگی‌های سلول‌های بنیادی می‌باشد که نقش مهمی در آغاز، پیشرفت و مقاومت به درمان‌های جاری دارد. از آنجایی که کشت سه‌بعدی در شرایط آزمایشگاهی محیط مناسبی برای مطالعه سلول‌های بنیادی سرطانی در مقابل محیط پیچیده بافتی ایجاد می‌کند، هدف ما در این مطالعه بررسی اثر کشت سه-بعدی بر ویژگی‌های سلول‌های بنیادی سرطانی می‌باشد.

مواد و روش‌ها: سلول‌های MDA-MB468 که به صورت سه‌بعدی و دو-بعدی کشت داده شده‌اند تا از نظر قدرت ایجاد کلنی، اسفوئید، بیان مارکرهای سطحی بنیادینگی (CD44, CD133) توسط فلوسایتومتری و همین‌طور بیان ژن‌های بنیادینگی (Real time PCR (Aldh, Sox2, Nanog, Oct4, Cmyc)) توسط مورد بررسی قرار گرفتند.

یافته‌ها: سلول‌های MDA-MB468 که به صورت دو-بعدی و سه‌بعدی کشت داده شده بودند تفاوت معناداری از نظر قدرت ایجاد کلنی-زایی و ایجاد اسفوئید نشان ندادند. کشت سه‌بعدی سبب ایجاد کاهش معناداری در بیان مارکر CD133+ نسبت به کشت دو-بعدی شد. (۰,۵۲,۶۹±۰,۵۸٪ در کشت سه‌بعدی در مقابل ۰,۳۴,۵۵±۰,۹۸٪ در کشت دو-بعدی) در حالی که تفاوت معناداری در بیان CD44+ در این دو نوع کشت مشاهده نشد. همین‌طور کشت سه‌بعدی سبب سرکوب بیان ژن‌های بنیادینگی شامل Oct4, Nanog, Aldh, Sox2, Cmyc نسبت به کشت دو-بعدی شد.

نتیجه‌گیری: در مجموع نتایج حاصل از پژوهش انجام شده مؤید این بود که کشت سه‌بعدی که منعکس کننده معماری بافتی و شرایط In vivo می‌باشد و سبب کاهش ویژگی‌های سلول‌های بنیادی سرطانی در رده سلولی MDA-MB468 می‌شود.

کلمات کلیدی: سلول‌های بنیادی سرطانی، کشت دو-بعدی، کشت سه-بعدی

مقدمه

نویسنده مسئول: نسرین معتمد

پست الکترونیکی: Motamed2@khayam.ut.ac.ir

تاریخ دریافت مقاله: ۱۳۹۲/۰۷/۲۰

تاریخ پذیرش مقاله: ۱۳۹۲/۰۶/۰۲

مواد و روش‌ها

کشت دو بعدی سلول

رده سلولی MDA-MB468 از بانک سلولی انسنتیتو پاستور (تهران- ایران) به صورت تک لایه در محیط^۱ DMEM که شامل ۱۰٪ سرم جنین گاو، ۱٪ آنتی‌بیوتیک پنی‌سیلین استرپتومایسین، ۱٪ گلوتامین و ۱٪ امینواسیدهای غیر ضروری می‌باشد و در دمای ۳۷ درجه سانتی‌گراد در یک اتمسفر مرطوب با غلظت ۵٪ CO₂ کشت داده شد. مواد نام برده شده جهت انجام کشت سلولی از شرکت Gibco (NY-USA) تهیه شد.

کشت سه بعدی سلول

سلول‌هایی که به صورت تک لایه کشت داده شده بودند توسط تریپسین از کف ظرف کشت جدا شده و ۵۰۰۰۰ سلول در فلاسک T25 پوشیده شده با پلی‌هاما در محیط DMEM که شامل ۱۰٪ سرم جنین گاو، ۱٪ آنتی‌بیوتیک پنی‌سیلین استرپتومایسین، ۱٪ گلوتامین و ۱٪ امینواسیدهای غیر ضروری، در دمای ۳۷ درجه سانتی‌گراد در اتمسفر مرطوب با غلظت CO₂/۵٪ کشت داده شد. جهت آماده‌سازی پلی‌هاما- Sigma-Aldrich محلول پلی‌هاما با غلظت ۱۲۰ گرم در لیتر در اتانول ۹۵٪ تهیه شد و به مدت یک شبانه روز به آن اجازه داده شد تا در دمای ۳۷°C بهم خورده تا این پلی‌یمر کاملاً حل شود، سپس این محلول ۱۰ برابر توسط اتانول ۹۵٪ رقیق شده و ۵ میلی‌لیتر از آن در سطح یک فلاسک ۲۵ ریخته شد و اجازه داده شده تا یک شبانه‌روز در زیر هود خشک شود (۱۰).

فلوسایتومتری

برای بررسی میزان بیان شاخص‌های سطحی CD133 و CD44 بر روی رده سلولی MDA-MB468 که به صورت دو بعدی و سه بعدی کشت داده شده بودند پس از پاشاژ، سلول‌ها با فسفات بافر سالین فاقد یون شستشو داده شد.^۵ ۲ × ۱۰^۵ سلول با آنتی‌بادی‌های CD133 و CD44 که به رنگ فلورکروم PE (BD Biosciences-CA-USA) متصل بودند انکوبه شدند. به منظور از بین بردن آنالیزهای غیر اختصاصی در نتیجه حاصل از فلوسایتومتری به ازای هر لوله حاوی آنتی-

امروزه اعتقاد بر این است که بیشتر تومورها دارای جمعیت کوچکی از سلول‌ها با ویژگی‌های سلول‌های بینیادی می‌باشد. این سلول‌ها که سلول‌های بینیادی سرطانی می‌باشند در واقع توانایی نوزایی و تمایز به انواع سلول‌هایی که در بافت اصلی تومور هستند را دارا می‌باشد (۱۷، ۱۹). این سلول‌ها به واسطه ویژگی‌هایی از سلول‌های غیر بینیادی سرطان سینه تمیز داده می‌شوند، از جمله این ویژگی‌ها می‌توان بیان مارکرهای سطحی مشخص مانند CD133 و CD44 (۳)، بیان بالای ژن-های بینیادینگی و بالا بودن قدرت کلنی‌زایی و اسفوتوئیدزاپی اشاره نمود (۲۱، ۲۳). شناسایی این سلول‌ها از اهمیت بالایی برخوردار است زیرا که توانایی آغاز تومور را داشته و موجب مقاومت دارویی می‌شود (۵). امروزه استفاده از کشت سه بعدی به خصوص در مطالعات سلول‌های بینیادین سرطان افزایش یافته است و آنها را به ابزارهایی مناسب برای مطالعه سرطان تبدیل کرده است. در حقیقت کشت سه بعدی تصویر واقعی- تری از شرایط سلول‌ها در بدن موجود زنده یوده و منعکس کننده بافت‌ها و ارگان‌های بدن در شرایط In vivo نسبت به کشت دو بعدی می‌باشد. در کشت دو بعدی سلول‌ها در یک سطح صاف ساخته شده از پلی‌استیرن رشد کرده، به سطح پلاستیکی چسبیده و تشکیل اتصالات غیر معمول با پروتئین-های دناتور شده در کف ظرف را می‌دهند که نشان‌دهنده محیط واقعی رشد آنها در موجودات زنده نمی‌باشد. در واقع معماری اختصاصی بافتی، بر هم‌کنش سلول با سلول در این شرایط ساده کشت سلولی از دست می‌رود. در نتیجه در واقع مدل‌های بافتی سه بعدی در شرایط آزمایشگاهی به عنوان یک پل بین کشت سلول به روش قدیمی و مدل‌های حیوانی می-باشد (۲۰، ۴). در کشت سه بعدی سلول‌ها به یکدیگر متصل شده تشکیل اتصالات طبیعی سلول به سلول و سلول با ماتریکس خارج سلولی می‌دهند و این اتصالات پیام لازم برای عملکرد سلول را به حداقل می‌رساند (۱۱، ۱۸، ۲۴). روش-های کشت سه بعدی در زیست‌شناسی سلولی پتانسیل این را دارد که روش‌های سلولی را گسترش دهد و مدل‌سازی کمی سیستم‌های بیولوژیک را از سلول‌ها به موجودات زنده گسترش دهد. با توجه به اینکه تعیین نقش محیط اطراف تومور درک ما را در فهم بیولوژی سرطان افزایش داده است و منجر به کشف راه‌های جدید درمانی می‌شود (۲۵). هدف ما در این مطالعه بررسی اثر کشت غیر چسبنده سه بعدی سلول-ها بر روی پلی‌هاما بر مورفولوژی و ویژگی‌های سلول‌های بینیادی سرطان سینه در رده سلولی MDA-MB468 نسبت به کشت تک لایه سلول‌ها در یک محیط غنی از سرم بود.

^۱ Dulbecco's Modified Eagle Medium

و واپرسنست‌سازی اولیه DNA مکمل می‌شود به صورت ۹۵°C به مدت ۱۰ دقیقه، مرحله دوم در دمای ۹۵°C و به مدت ۱۵ ثانیه، مرحله سوم دمای ۶۲°C و به مدت ۱ دقیقه برای ۴۰ چرخه متوالی بود. واکنش‌های Real Time PCR در حجم نهایی ۲۰ میکرولیتر انجام شد. ترکیبات هر واکنش شامل ۱۰ میکرولیتر مخلوط اصلی واکنش Power SYBER Green PCR master mix (2x)، ۱ میکرولیتر Reverserse Forward، ۱ میکرولیتر پرایمر رشتہ Reverse، ۶ میکرولیتر آب دیونیز، ۲ میکرو لیتر نمونه cDNA بود. ژن GAPDH به عنوان نرمال کننده برای تعیین بیان نسبی به دیگر ژن‌ها ($\Delta\Delta Ct$) سنجیده شد. جدول ۱ توالی پرایمرهایی که در این مطالعه استفاده شده‌اند را نشان می‌دهد.

تجزیه و تحلیل آماری

نتایج به دست آمده در این مطالعه بر اساس حداقل سه تکرار استوار بود که به صورت Mean \pm SEM محاسبه شد. آزمون مقایسه‌ای مورد استفاده Student's t-test بوده و سطح معناداری آن ($p < 0.05$) در نظر گرفته شد.

جدول ۱: توالی پرایمرهای استفاده شده جهت

Real Time PCR

نام ژن	Forward	توالی	Reverse
Oct4	5'GTTCTTCATTCACTA AGGAAG3'	5'CAAGAGCATCATTG AACTTCAC3'	
Sox2	5'GGGAAATGGGAGGG GTGCAAAAGA GG3'	5'TTGCCTGAGTGTGG ATGG GATTGGTGG3'	
Nanog	5'AAAGAACCTTCACC TATGCC 3'	5'GAAGGAAGAGGAGA GACAGT3'	
Aldh	5'CCAAGCGTGATCCT GAACC 3'	5'GCTGCTGCCGAGGA GTAG 3'	
Cmyc	5'CCAAGCGTGATCCT GAACC 3'	5'GCTGCTGCCGAGGA GTAG3'	

یافته‌ها

بادی لوله آزمایشی با شرایط مشابه لوله اصلی آزمایش تهیه گردید، که در آن از کنترل ایزوتابیپ هر یک از آنتی‌بادی‌ها شامل PE-Mouse IgG2b (CA-USA-DAKO) استفاده شد. پس از آماده‌سازی لوله‌ها به مدت ۳۰ دقیقه در یخ انکوبه شدند. پس از اتمام انکوباسیون نمونه‌ها با فسفات بافر سالین فاقد یون شستشو داده شدند و در آخر نمونه‌های آماده شده توسط دستگاه BD FACS Calibur خوانده شد.

آزمایش قدرت کلونی‌زای

۱۰۰ عدد از سلول‌هایی که به صورت دوبعدی و سه‌بعدی کشت داده شده بودند به ازای هر میلی‌لیتر محیط کشت در پلیت‌های ۶ خانه‌ای ریخته شد. تعداد کلونی‌ها پس از گذشت ۹ روز توسط میکروسکوپ نوری معکوس در هر گروه مورد بررسی و شمارش قرار گرفت. برای به دست آوردن نتایج قابل اعتماد این آزمایش با سه بار تکرار انجام شد و در هر بار تکرار سلول‌ها در ۲ خانه از پلیت ۶ خانه قرار داده شد.

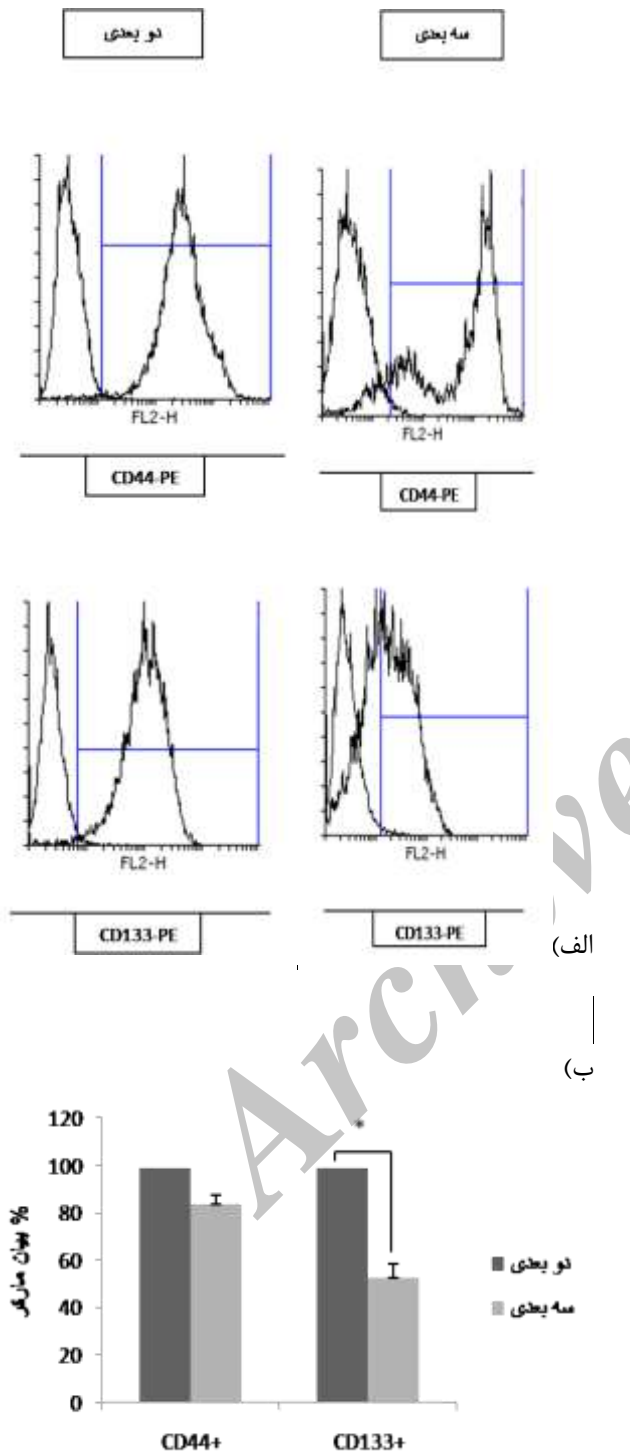
آزمایش قدرت تشکیل اسفو روئید

تعداد ۱۰۰ سلول‌هایی که به صورت دوبعدی و سه‌بعدی کشت داده شده بودند به ازای هر میلی‌لیتر محیط کشت در پلیت‌های ۶ خانه‌ای با چسبندگی پایین ریخته شد. محیط کشت استفاده شده فاقد سرم بوده و شامل فاکتورهای رشد و EGF و bFGF با غلظت ۲۰ نانوگرم بر میلی‌لیتر بوده. تعداد اسفو روئیدها پس از گذشت ۷ روز توسط میکروسکوپ نوری معکوس در هر گروه مورد بررسی و شمارش قرار گرفت. در واقع اسفو روئیدهایی که اندازه آن بیشتر از ۱۰۰ میکرومتر بود مورد شمارش قرار گرفتند. این آزمایش با سه بار تکرار انجام شد و در هر بار تکرار سلول‌ها در ۲ خانه از پلیت ۶ خانه با چسبندگی پایین ریخته شد.

Real-Time RT- PCR

تمام RNA از سلول‌های MDA-MB468 که به صورت دوبعدی و سه‌بعدی کشت داده شده بودند توسط ترایزول (Ambion-NY-USA) و مطابق با دستورالعمل شرکت RevertAid H (synthesis kit Minus first cDNA Fermentase-MA-USA) استخراج شد. با استفاده از Real Time PCR (Corbett) مدل استفاده شد. برنامه زمانی-گرمایی دستگاه در سه مرحله انجام شد. مرحله اول که منجر به فعال‌سازی آنزیم

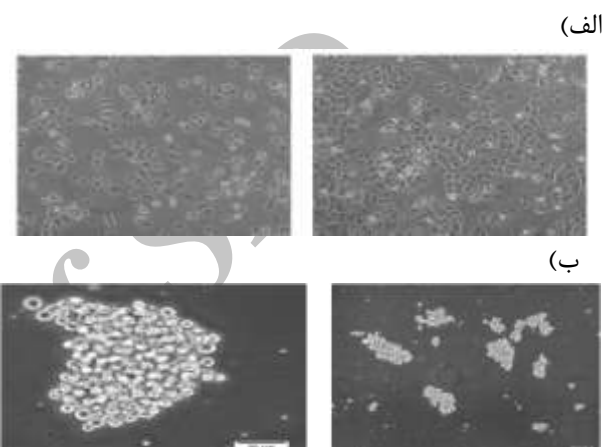
نتیجه کشت سه‌بعدی سبب کاهش معناداری در بیان CD133 شده ($p < 0.05$) اما تفاوت چشمگیری در بیان CD44 ایجاد نکرده بود. در شکل ۲ نمودارهای آنالیز فلوسایتمتری و درصد بیان سلول‌های CD44+ و CD133+ نشان داده شده است.



شکل ۲: بیان CD44 و CD133 در کشت دوبعدی و سه‌بعدی.
الف) بیان دو مارکر CD44-PE و CD133-PE به صورت پلاستیکی ایجاد شده با تکنیک فلوسایتمتری در سلول‌های MDA-MB468.

مورفولوژی سلول‌ها در کشت دوبعدی و سه‌بعدی

همان‌طور که در شکل ۱-۱ مشخص است مورفولوژی سلول‌ها کاملاً وابسته به نوع کشت بود. سلول‌های MDA-MB468 که به صورت دوبعدی بر سطح پلاستیکی کشت داده شده بودند به شکل بیضی و/ یا چندگوشه بودند و به شکل تک لایه در کف فلاسک رشد می‌کردند در حالی که کشت سه‌بعدی سلول‌ها بر روی پلی‌ها منجر به ایجاد اسفوئیدهایی با ارتباط ضعیف سلول با سلول و به شکل خوش‌انگوری می‌گردید.



شکل ۱: مورفولوژی رده سلولی MDA-MB468 در کشت سه‌بعدی و دوبعدی. الف) تصویر سمت راست شکل این سلول‌ها را با تعداد بالای سلول و شکل سمت چپ با تعداد کم سلول نشان می‌دهد. تصویر توسط میکروسکوپ فاز کنترast گرفته شده است. مقیاس بزرگنمایی تصاویر $100 \mu\text{m}$ می‌باشد. ب) اسفوئیدهای تشکیل شده بر فلاسک‌های پوشیده شده با پلی‌هایما. مقیاس بزرگنمایی تصویر سمت راست $100 \mu\text{m}$ و تصویر سمت چپ $50 \mu\text{m}$ می‌باشد.

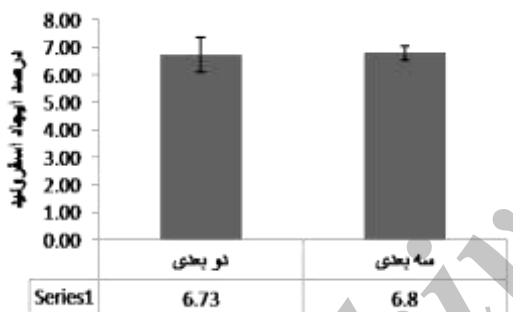
مقایسه بیان شاخص‌های بنیادینگی در کشت دوبعدی و سه‌بعدی

میزان بیان شاخص‌های بنیادینگی CD44+ و CD133+ با استفاده از تکنیک فلوسایتمتری در این سلول در دو نوع کشت دوبعدی و سه‌بعدی مورد بررسی قرار گرفت. مقایسه حاصل از بیان این دو مارکر نشان می‌دهد که بیان CD44+ و CD133+ در سلول‌هایی که به صورت دو بعدی کشت داده شده بودند به ترتیب $98.58 \pm 0.34\%$ و $98.55 \pm 0.34\%$ در حالی که در کشت سه‌بعدی $83.34 \pm 4.2\%$ و $82.69 \pm 5.84\%$ بود. در

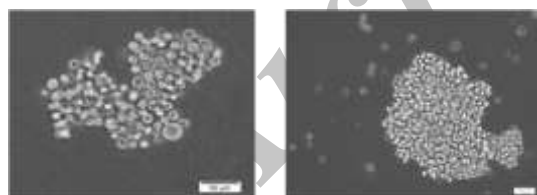
مقایسه قدرت تشكیل اسفوئید در کشت سه-بعدی و دوبعدی

سلول‌هایی که در کشت دوبعدی و سه‌بعدی کشت داده شدند هریک جهت مقایسه‌ی تغییری که در قدرت اسفوئیدزای آنها ایجاد شده در ظروف ۶ خانه‌ای با چسبندگی پایین^۲ در محیط فاقد سرم کشت داده شده بودند. شکل-۴ قدرت ایجاد اسفوئید و مورفولوژی کلنی‌ها را در کشت سه‌بعدی دوبعدی نشان می‌دهد. اسفوئیدهای حاصل از کشت دوبعدی نسبت به کشت سه‌بعدی از فشردگی کمتری برخوردار بود. درصد اسفوئیدهای تشکیل شده در کشت سه‌بعدی %۶,۸±۰,۲۶ بود در حالی که در کشت دوبعدی %۶,۷۳±۰,۶۳ بوده که تفاوت معناداری از نظر قدرت ایجاد اسفوئید در سلول‌هایی که به صورت دوبعدی و سه‌بعدی کشت داده شده بودند مشاهده نشد.

(الف)



(ب)



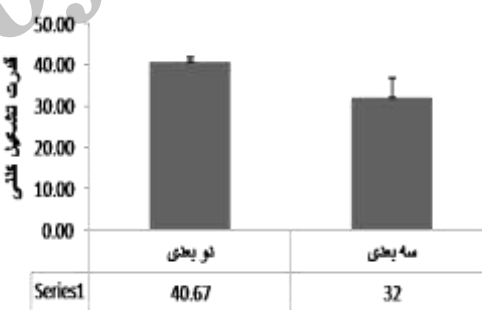
شکل ۴: مقایسه اسفوئیدهای تشکیل شده در کشت سه‌بعدی و دوبعدی. الف) نمودار مقایسه درصد اسفوئیدهای تشکیل شده در کشت سه‌بعدی و دوبعدی را نشان می‌دهد (ب) مورفولوژی اسفوئید در سلول‌هایی که به صورت سه‌بعدی (سمت راست) و دوبعدی (سمت چپ) کشت داده شده‌اند را نشان می‌دهد. مقیاس بزرگنمایی ۵۰ μm می‌باشد.

راست) نشان می‌دهد. ب) نمودار مقایسه بیان دو شاخص CD133+ و CD44+ را در کشت دوبعدی و سه‌بعدی نشان می‌دهد. (علامت * نشان دهنده $P < 0.05$ می‌باشد).

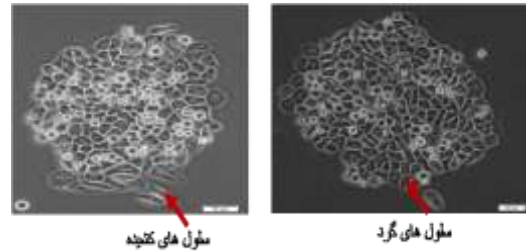
مقایسه قدرت تشكیل کلنی در کشت سه‌بعدی و دوبعدی

سلول‌هایی که به صورت دوبعدی و سه‌بعدی کشت داده شده بودند هر یک برای توانایی تشكیل کلنی مورد بررسی قرار گرفتند. شکل-۳ قدرت کلنی‌زایی و مورفولوژی کلنی‌ها را در کشت سه‌بعدی و دوبعدی نشان می‌دهد. همان‌طور که مشخص است از نظر مرفولوژیکی سلول‌های تشكیل‌دهنده کلنی‌ها در کشت دوبعدی کشیده‌تر بوده در حالی که در کشت سه‌بعدی گردتر می‌شوند. تعداد کلنی‌های تشكیل شده در کشت سه‌بعدی %۴,۷۲±۰,۳۲ و در کشت دوبعدی %۱,۱۶±۰,۶۷ بود که تفاوت معناداری از نظر قدرت کلنی‌زایی در سلول‌هایی که به صورت دوبعدی و سه‌بعدی کشت داده شده بودند مشاهده نشد.

(الف)



(ب)



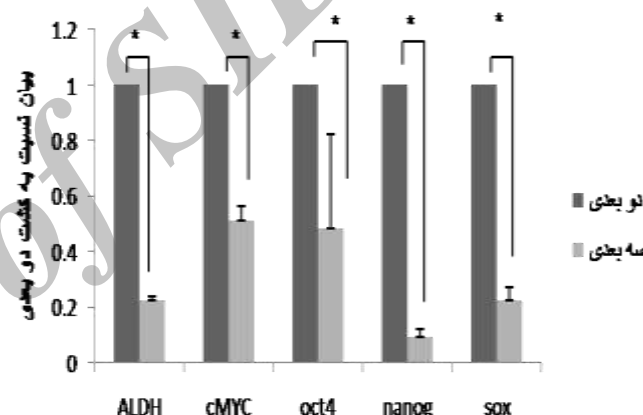
شکل ۳: مقایسه کلنی‌های تشکیل شده در کشت سه‌بعدی و دوبعدی. الف) نمودار مقایسه تعداد کلنی‌های تشکیل شده در کشت سه‌بعدی و دوبعدی را نشان می‌دهد. ب) مورفولوژی کلنی در سلول‌هایی که به صورت سه‌بعدی (سمت راست) و دوبعدی (سمت چپ) کشت داده شده‌اند را نشان می‌دهد. مقیاس بزرگ نمایی ۵۰ μm می‌باشد.

² Ultra low attach plates

تجمعات سلولی شروع شده و در نهایت منجر به ایجاد ساختارهای سه‌بعدی شده و به نظر می‌رسد که برای مطالعات در شرایط آزمایشگاهی نسبت به کشت تک لایه مناسب‌تر می‌باشدند. در واقع هدف این مطالعه این بوده است که اثر کشت سلول‌ها در شرایط سه‌بعدی را بر ویژگی‌های بنیادینی سلول‌های سرطانی در رده سلولی MDA-MB468 بررسی نماید. در این مطالعه جهت بررسی اثر کشت سه‌بعدی بر ویژگی‌های بنیادینی، اثر کشت سه‌بعدی را بر قدرت ایجاد اسفو روئید و کلنسی‌زایی بررسی شد. همان‌طور که در نتایج ذکر شد کشت سلول‌ها در شرایط سه بعدی افزایش معناداری در توانایی سلول‌ها برای کلنسی‌زایی و ایجاد اسفو روئید که از ویژگی‌های سلول‌های بنیادین سرطانی هستند ایجاد نکرد. از آنجایی که بیان مارکرهای خاص و افزایش بیان ژن‌های بنیادینی از دیگر راه‌های شناسایی سلول‌های بنیادی سرطان می‌باشد این دو فاکتور نیز مورد سنجش قرار گرفتند (۸، ۷، ۱۴-۱۲). در نتیجه در مرحله اول با توجه به اهمیت بیان مارکرهای مشخص در سلول‌های بنیادی سرطان تست فلوسایتومتری برای جمعیت‌های CD133 و CD44 صورت گرفت. زیرا همان‌طور که در مطالعات نشان داده شده است گرفت. زیرا همان‌طور که در مطالعات نشان داده شده است این دو مارکر به خوبی نشان دهنده آن است که این مارکرهای سلول‌های بنیادی سرطانی می‌باشند. ویژگی‌های عملکردی این دو مارکر به خوبی برای انتخاب تومورهای بدخیم می‌باشد، زیرا CD133 مارکری می‌باشد که توسط بسیاری از سلول‌های بنیادی نرمال بیان می‌شود و به نظر می‌رسد در مهاجرت و تقسیم نامتقارن سلول‌های بنیادی نقش دارد (۲۰، ۱). CD44 نیز به عنوان گیرنده برای هیالورونیک اسید می‌باشد و در چسبندگی سلولی، مهاجرت و متاباستاز سلول‌های سرطانی نقش دارد (۲۲). همان‌طور که مشاهده شد کشت سه‌بعدی کاهش معناداری در بیان سلول‌های CD133+ ایجاد نمود به ۵۲، ۶۹±۵، ۸۴٪ گونه‌ای که بیان CD133+ در کشت سه‌بعدی ۹۸، ۵۵±۰، ۳۴٪ و در کشت دوبعدی ۴۰، ۳۴٪ بود در حالی که تفاوت معناداری در بیان CD44+ در این دو نوع کشت مشاهده نشد. پس از انجام آزمایش‌های سلولی بیان ژن‌هایی از جمله Oct4، Cmyc، Aldh، Sox2، Nanog نیز سنجیده شد. مسئله حائز اهمیت این بود که کشت سه‌بعدی توانست بیان تمام ژن‌های بنیادینی به طور معناداری کاهش یافتد. نتایج به دست آمده مبنی بر عدم مشاهده تفاوت در قدرت کلنسی‌زایی و ایجاد اسفو روئید، کاهش بیان مارکر بنیادینی CD133+ و کاهش بیان ژن‌های بنیادینی در کشت سه‌بعدی نسبت به کشت

مقایسه بیان ژنهای بنیادینگی در کشت سه‌بعدی و دوبعدی

در مرحله آخر هر یک از سلول‌هایی که به صورت دوبعدی و سه‌بعدی کشت داده شده‌اند جهت آنالیزهای مولکولی برای بیان ژن‌هایی که در بنیادینگی دخیل می‌باشند شامل Aldh، Sox2، Nanog، Oct4، Cmyc، Aldh، Oct4، Cmyc در کشت سه‌بعدی نسبت به کشت دوبعدی به ترتیب $1, 22\pm 0, 04$ ، $0, 9\pm 0, 03$ ، $0, 48\pm 0, 04$ ، $0, 51\pm 0, 04$ ، $0, 22\pm 0, 04$ ، $0, 0\pm 0, 04$ برابر بود (شکل ۵). در نتیجه کشت سه‌بعدی سبب کاهش بیان ژن‌های بنیادینگی در سلول‌های MDA-MB468 شده بود.



شکل ۵: مقایسه میزان بیان ژن‌های بنیادینگی در سلول‌هایی که به صورت دوبعدی و سه‌بعدی کشت داده شده اند. (علامت * نشانگر $p < 0.05$ می‌باشد).

بحث و بررسی

تئوری سلول‌های بنیادی سرطانی به عنوان عاملی که مسئول آغاز تومور، حفظ آن و مقاومت به درمان می‌باشد، امروزه از اهمیت بالایی در مطالعات در زمینه سرطان برخوردار است، زیرا شناسایی و مورد هدف قراردادن آن می‌تواند نقش مهمی در درمان سرطان داشته باشد (۱۷). سیستم‌های کشت مناسب برای شناسایی سلول‌های بنیادی سرطانی به روشن‌کردن مسائلی که هنوز در زمینه سلول‌های بنیادی سرطانی نامشخص است کمک می‌کند. رده‌های سلولی اکثراً به صورت دوبعدی کشت داده می‌شوند، اما آنها می‌توانند به صورت اسفو روئیدهای سه‌بعدی نیز کشت داده شوند. این اسفو روئیدهایا

کاهش می‌یابد اما پس از کشت طولانی مدت در این شرایط دوباره با افزایش چشمگیری از بنیادینگی مواجه می‌شوند که با بافت اصلی آن متفاوت می‌باشد (۱۳).

به طور کلی این مطالعه نشان داد که سلول‌های MDA-MB468 توانایی حفظ و افزایش ویژگی‌های سلول‌ها بنیادی سلطانی در شرایط کشت سه‌بعدی را ندارد و احتمالاً آنچه که در شرایط واقعی و فیزیولوژیک مشاهده می‌شود شرایطی مشابه با نتایج به دست آمده در این مطالعه می‌باشد. اما به هر حال تلاش‌های بیشتری نیاز می‌باشد تا این مدل‌های سه‌بعدی بیشتر به شرایط *In vivo* نزدیک‌تر شوند.

سپاسگزاری

نویسنده‌گان این مقاله برخود لازم می‌دانند از مسئولین آزمایشگاه سلول‌های بنیادی خون‌ساز و سرطان، آزمایشگاه فلوسایتومتری و آزمایشگاه مولکولی پژوهشگاه رویان جهت فراهم‌نمودن امکانات و تجهیزات لازم برای این پژوهش قادرانی و تشکر به عمل آورند.

دوبعدی حاکی از این بود که کشت سه‌بعدی نتوانسته است سبب افزایش ویژگی‌های بنیادینگی این سلول‌ها شود. در توجیه تفاوت‌های مشاهده شده در مرفولوژی کلنی‌ها و اسفلوئید، بیان مارکرهای سطحی و بیان ژنی در این دو نوع کشت باید ذکر کرد که سلول‌ها به واسطه تغییراتی که در میتوز و تولید ماتریکس خارج سلولی می‌کنند پاسخ‌های متفاوتی به محیطی که در آن کشت داده می‌شوند می‌دهند (۶). در نتیجه فنتوپیپ فیزیولوژیک سلول‌ها در شرایط کشت دوبعدی نسبت به سلول‌ها در کشت سه‌بعدی متفاوت می‌باشد (۹). همین‌طور نشان داده شده که بر هم کنش سلول‌ها و محیط اطراف آن اثر زیادی بر شکل سلول، سیتواسکلتون، ساختار کروماتین و بیان ژن‌ها دارد. سلول‌ها هنگامی که در شرایط سه‌بعدی بر روی پایی‌های رشد می‌کنند مرفولوژی گردیده خود گرفته و این مرفولوژی منجر به فشرگی کروموزومی و کاهش سایز هسته و در نتیجه داستیلاسیون هیستون‌ها می‌شود که این داستیلاسیون هیستون باعث سرکوب بیان ژن‌ها می‌شود (۱۵). ضمن اینکه در مطالعاتی نشان داده شده است که هنگامی که رده‌های سلول‌ها به صورت دوبعدی در یک مدت محدود کشت داده شوند خواص بنیادینگی آنها

منابع

1. Al-Hajj M, Wicha MS, Benito-Hernandez A, Morrison SJ, Clarke MF., Prospective identification of tumorigenic breast cancer cells, Proc Natl Acad Sci USA, 2003; 100(7): 3983-8.
2. Beckmann J, Scheitza S, Wernet P, Fischer JC, Giebel B., Asymmetric cell division within the human hematopoietic stem and progenitor cell compartment: identification of asymmetrically segregating proteins, blood, 2007; 109(12): 5494-501.
3. Croker AK, Goodale D, Chu J, Postenka C, Hedley BD, Hess DA, Allan AL., High aldehyde de hydrogenase and expression of cancer stem cell markers selects for breast cancer cells with enhanced malignant and metastatic ability, J Cell Mol Med, 2009; 13(8B): 2236-52
4. Griffith LG, Swartz MA., Capturing complex 3D tissue physiology in vitro., Nat. Rev. Mol. Cell Biol., 2006; 7(3): 211-24.
5. Grimshaw JM, Cooper L, Papazisis K et al, Mammosphere culture of metastatic breast cancer cells enriches for tumorigenic breast cancer cells, Breast Cancer Research, 2008; 10(3)
6. Gruber EH, Hanley ND, Human disc cells in monolayer vs 3D culture: cell shape, division and matrix formation, BMC Musculoskeletal Disorders, 2000; 1:1
7. Gu G, Yuan J, Wills M, Kasper S., Prostate Cancer Cells with Stem Cell Characteristics Reconstitute the Original Human Tumor In vivo. Cancer Res., 2007; 67(10): 4807-15
8. Hirsch HA, Iliopoulos D, Tsichlis PN, Struhl K., Metformin selectively targets cancer stem cells and acts together with chemotherapy to block tumor growth and prolong remission, Cancer Res, 2009; 69(19): 7507-11
9. Ivascu A, Kubbies M, Rapid generation of single-tumor spheroids for high-throughput cell function and toxicity analysis. J. Biomol. Screen, 2006; (11): 922-932.
10. Winkenwerder JJ, Palechek PL, Reece JS, Saarinen MA, Arnold MA, Cohen MB, Murhammer DW., Evaluating prostate cancer cell culturing methods: A comparison of cell morphologies and metabolic activity, Oncol Rep, 2003; 10(4): 783-9
11. Kim JB, Stein R, O'Hare MJ., Three-dimensional in vitro tissue culture models of breast cancer a review, Breast Cancer Res Treat, 2004; 85(3): 281-91
12. Klarmann GJ, Hurt EM, Mathews LA, Zhang X, Duhagon MA, Mistree T, Thomas SB, Farrar WL., Invasive prostate cancer cells are tumor initiating cells that have a stem cell-like genomic signature, Clin Exp Metastasis, 2009; 26(5): 433-446.

13. Kuch V, Schreiber C, Thiele W, Umansky V, Sleeman JP., Tumor-initiating properties of breast cancer and melanoma cells in vivo are not invariably reflected by spheroid formation in vitro, but can be increased by long-term culturing as adherent monolayers, *Int J Cancer*, 2013; 132(3): 94-105
14. Lawson DA, Witte ON., Stem cells in prostate cancer initiation, and progression, *J Clin Invest*, 2007; 117(8): 2044-50
15. Le Beyec J, Xu R, Lee SY, Nelson CM, Rizki A, Alcaraz J, Bissell MJ., Cell shape regulates global histone acetylation in human mammary epithelial cells, *Exp Cell Res*, 2007; 313(14): 3066-75
16. Liu ZZ, Chen P, Lu ZD, Cui SD, Dong ZM., Enrichment of breast cancer stem cells using a keratinocyte serum-free medium. *Chin Med J (Engl)*, 2011; 124(18): 2934-6
17. Morrison JB, Schmidt WC, Lakhani RS et al, Breast cancer stem cells: implications for therapy of breast cancer, *Breast Cancer Research*, 2008
18. Pampaloni F, Stelzer EH, Masotti A., Three-Dimensional Tissue Models for Drug Discovery and Toxicology. *Recent Pat Biotechnol*, 2009; 3(2): 103-17
19. Qiao B, Johnson NW, Chen X, Li R, Tao Q, Gao J., Disclosure of a stem cell phenotype in an oral squamous cell carcinoma cell line induced by BMP-4 via an epithelial-mesenchymal transition. *Oncol Rep.*, 2011; 26(2): 455-61.
20. Rangarajan A, Hong SJ, Gifford A, Weinberg RA., Species- and cell type-specific requirements for cellular transformation. *Cancer Cell*, 2004; 6(2): 171-83
21. Rhim JS, Li H, Furusato B., Novel human prostate epithelial cell culture models for the study of carcinogenesis and of normal stem cells and cancer stem cells, *Adv Exp Med Biol*, 2011; 720: 71-80
22. Shipitsin M, Campbell LL, Argani P, Weremowicz S, Bloushtain-Qimron N, Yao J et al, Molecular definition of breast tumor heterogeneity, *Cancer Cell*, 2007; (3): 259-73.
23. Singh SK, Clarke ID, Hide T, Dirks PB., Cancer stem cells in nervous system tumors, *Oncogene.*, 2004; 23(43): 7267-73
24. Soares CP, Midlej V, de Oliveira WEM, Benchimol M, Costa ML, Mermelstein C., 2D and 3D-Organized Cardiac Cells Shows Differences in Cellular Morphology, Adhesion Junctions, Presence of Myofibrils and Protein Expression, *PLoS ONE*, 2012; 7(5)
25. Yeung TM., Gandhi SC, Bodmer WF., Hypoxia and lineage specification of cell line-derived colorectal cancer stem cells. *PNAS*, 2011